

A₁TiD₂系 XD 合成铝基复合材料的反应机理^①

朱和国¹, 王恒志¹, 熊党生¹, 孙强金¹, 吴申庆²

(1 南京理工大学 材料科学与工程系, 南京 210094 2 东南大学 材料科学与工程系, 南京 210096)

摘要: 分析了 A₁TiD₂系 XD 合成铝基复合材料的反应机理。研究表明: Al与 TiD₂之间可自发进行强放热反应, 燃烧温度随增强相体积分数的增加而增加, 在增强相体积分数为 50% 时, 燃烧温度已达 1960 K, 远高于 Merzhanov 的经验判据值 1800 K; 反应产物 Al₂O₃是由液态 Al与固态 TiD₂直接反应产生的, 呈细小颗粒状, 偏聚于基体颗粒的界面; Al₂Ti是活性 Ti原子扩散穿过反应层进入铝液与液态 Al结合生成的, 呈短棒状, 分布相对均匀; 影响反应速率的主要因素有: TiD₂颗粒尺寸、燃烧温度、反应活化能、反应界面面积等。

关键词: 复合材料; 活化能; 加热速率; 热扩散反应

中图分类号: TB 332

文献标识码: A

Reactive mechanism of composites synthesized by XD method in Al-Ti-D₂ system

ZHU He-guo¹, WANG Heng-zhi¹, XIONG Dang-sheng¹, SUN Qiang-jin¹, WU Shen-qing²

(1 Department of Materials Science and Engineering

Nanjing University of Sciences and Technology, Nanjing 210094, China

2 Department of Materials Science and Engineering

Southeast University, Nanjing 210096, China)

Abstract The reactive mechanism of the composites synthesized by XD method in the Al-Ti-D₂ system was analyzed. The thermodynamic results indicate that the reactions between TiD₂ and Al carry through spontaneously with high quantity of exothermic heat. The combustion temperature increases with promoting the volume fraction and exceed Merzhanov experience criterion which is about 1800 K when the reinforcement volume fraction is higher than 50%. The combusted products consist of particulate Al₂O₃ and stick Al₂Ti. The Al₂O₃ particulates are formed directly by the reaction between Al and TiD₂ and accumulated at grain interfaces of the matrix. The stick Al₂Ti is formed by the reaction between Al atoms and active titanium diffused from the reaction region of Al-Ti-D₂ and distributes uniformly in the matrix. The main factors influencing the reaction velocity of Al-Ti-D₂ system are the size of TiD₂ powders, combustion temperature, reaction activation energy, area of the reaction interface etc.

Key words composites, active energy, heating rate, exothermic dispersion reaction

内生型复合材料的增强相是通过原位反应在基体中直接产生的, 具有表面干净无污染, 与基体的相容性好, 热力学稳定, 界面结合强度高, 并可充分利用化学反应能, 节约能耗。原位合成技术已成

为一种新型的复合材料制备技术^[1-5]。

通常, 由于反应条件如反应物尺寸、压力、温度等的不同, 同一反应产物在不同的反应体系中表现出来的反应机理是不同的, 即使在同一反应体系

① 基金项目: 南京理工大学发展基金资助项目(AB96056); 国家高技术研究发展计划资助项目(2002AA331010)

收稿日期: 2004-07-06 修订日期: 2004-11-08

作者简介: 朱和国(1963-), 男, 讲师, 博士。

通讯作者: 朱和国, 博士; 电话: 025-84315979, E-mail: zhg1200@sina.com

中而采用不同制备方法时，其反应机理也可能不同。任何动力学因数的改变，均直接影响反应路径及其反应产物。文献[6~7]中作者通过对Al-Ti-C系反应动力学的研究表明，TiC是Ti原子穿过围裹在C周围的富钛层与C原子结合形成的，形成后的TiC原子从熔液中析出并向外扩散。Tong等^[8]通过Al-K₂TiF₆-C反应系的动力学研究结果发现，TiC的形成是在铝熔体中石墨周围的Al首先与盐K₂TiF₆发生剧烈的化学反应，放出大量的热，在铝基体中形成大量的局部高温微区，此时，晶体中的Ti或Al₃Ti才满足形成TiC的热力学条件，从而在石墨颗粒周围反应生成TiC的。赵玉涛等^[9~10]采用Al-ZrOCl₂反应系熔体反应合成Al₃Zr和Al₂O₃复合增强的铝基复合材料，并分析了反应机理，认为Al-ZrOCl₂反应系为气-液和固-液反应的复合过程。Peng等^[11]利用Al-TiO₂系XD(exothermic dispersion synthesis)合成了体积分数为30%的Al₂O₃增强金属间化合物Al₃Ti为基体的复合材料，并分析了微观结构和反应机理。

作者曾采用Al-TiO₂系制备了Al₂O₃和Al₃Ti复合增强的铝基复合材料^[12]，并分析了增强相的体积分数对反应过程的影响。对Al-TiO₂系的深入研究直接影响到Al-TiO₂-X反应系的开发和研究，为此，本文作者对Al-TiO₂系的反应机理展开讨论。

1 实验方法

采用纯Al和TiO₂粉末为反应物，纯度分别为99.6%和99.0%，粒度尺寸分别为50~100μm和20~30μm。以一定的化学计量比进行配粉、球磨，再以不同的压力冷挤成直径为30mm、高度为10mm左右的压坯，将之置于真空反应炉中，抽真空、充氩，反复两次，再以一定的升温速率预热，在1000K左右时压坯发生化学反应，保温一段时间后冷至室温，制样后进行SEM电镜观察(型号：QUANTA 200)、X射线衍射和能谱分析。

2 实验结果

图1所示为Al-TiO₂反应系的反应产物的SEM照片及其X射线衍射谱。从图1(a)可以看出反应产物由棒状物、偏聚的细小颗粒以及基体3部分组成。由X射线衍射谱(图1(b))可知3种组织为Al、Al₂O₃和Al₃Ti；棒状物由其能谱分析(图2)可

知为Al₃Ti；则细小颗粒为Al₂O₃，暗色为铝基体。

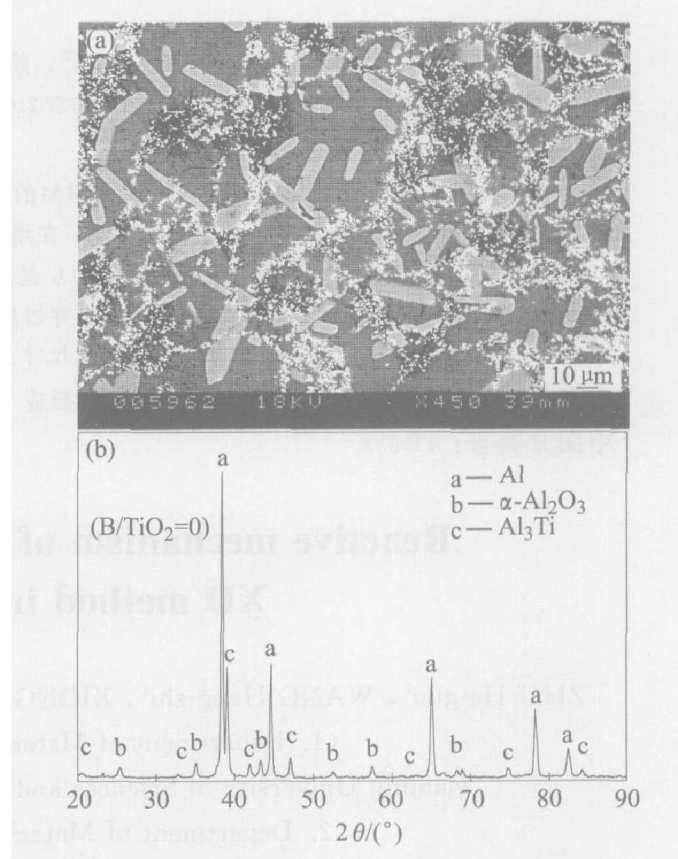


图1 Al-TiO₂系反应产物的SEM显微组织及其X射线衍射谱

Fig. 1 SEM microstructure (a) and XRD spectrum (b) of reacted products of Al-TiO₂ system

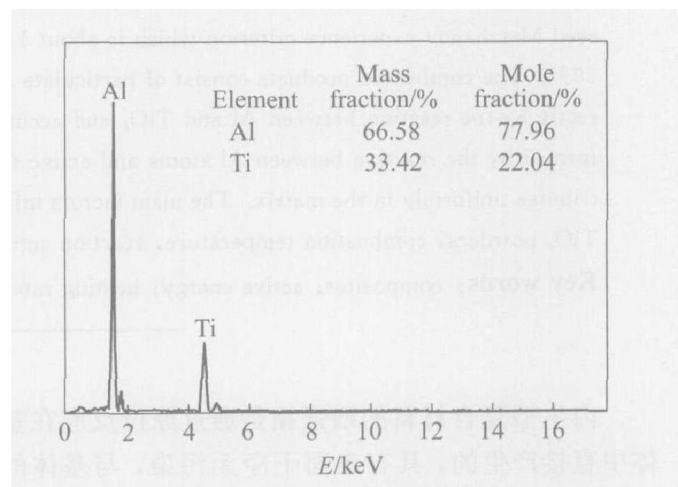


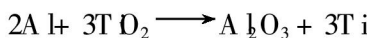
图2 棒状物的能谱图

Fig. 2 EDS of stick-shape phase

3 反应机理

3.1 反应热力学

Al-TiO₂系有如下的反应：



(1)

由文献 [13~14] 及相关数据得:

$$\begin{aligned}\Delta G_T^0 &= \Delta G_{\text{Al}_2\text{O}_3/T}^0 + 3\Delta G_{\text{Ti}/T}^0 - \\ &\quad 2\Delta G_{\text{Al}/T}^0 - 3\Delta G_{\text{TiO}_2/T}^0 \\ \Delta G_T^0 &= -535\,038 + 27.5T\end{aligned}\quad (2)$$

令 $\Delta G_T^0 = 0$ 则 $T_0 = 19\,455\text{ K}$ 。当 $T > T_0$ 时, 反应式 $\Delta G_T^0 > 0$ 。通常温度均远低于 $19\,455\text{ K}$, 因此从热力学角度来讲, ΔG_T^0 远小于 0, 式(1)是可以自发进行的。

反应产生的活性 Ti 原子与 Al 原子有多种结合形式, 即:



从 Al-Ti 二元相图 (图 3) 可知, 在 Al 含量较高 (大于 63.5%) 时, AlTi 以 Al_2Ti 的形式存在, 本研究所涉及的铝含量均高于此值, 因此 Al 与 Ti 的结合产物应为 Al_2Ti 。

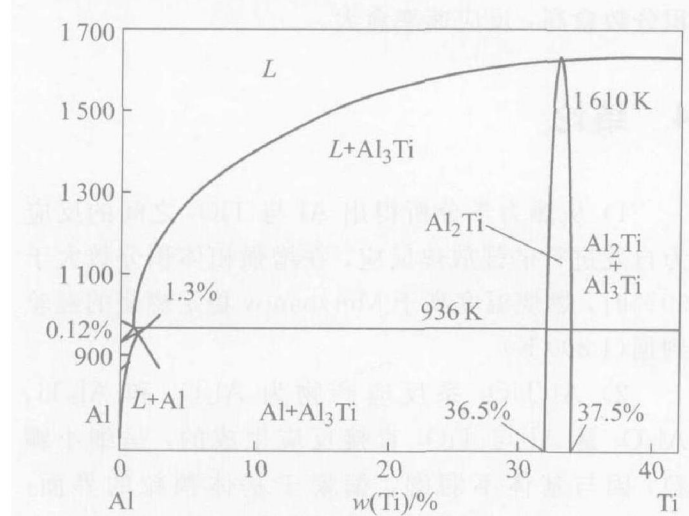
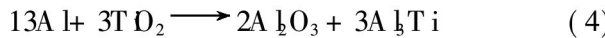


图 3 Al-Ti 二元相图

Fig. 3 Al-Ti binary phase diagram

Al-TiO₂ 系的总反应式为



此时

$$\begin{aligned}\Delta G_T^0 &= 2\Delta G_{\text{Al}_2\text{O}_3/T}^0 + 3\Delta G_{\text{AlTi}/T}^0 - 13\Delta G_{\text{Al}/T}^0 - \\ &\quad 3\Delta G_{\text{TiO}_2/T}^0 = -860\,668 + 228.9T\end{aligned}\quad (5)$$

令式(5)等于 0 则 $T = 3\,760\text{ K}$ 。

因此, 正常条件下 $\Delta G_T^0 < 0$ 即反应式(5)能自发进行。

由文献 [13~14] 得:

$$\Delta H_T^0 = \Delta H_{298}^0 + \int_{298}^T \Delta c_p dT \quad (6)$$

$$\begin{aligned}\Delta c_p/T &= \sum a + \sum b \times 10^{-3}T + \\ &\quad \sum c \times 10^5 T^{-2} + \sum d \times 10^{-6} T^2\end{aligned}\quad (7)$$

$$\sum x = \sum n_i x_{\text{生成物}} - \sum n_i x_{\text{反应物}} \quad (n_i \text{ 为反应式中})$$

的计量数)

(8)

再由文献 [13~14] 的相关数据得:

$$\begin{aligned}\Delta H_{298}^0 &= 2\Delta H_{\text{Al}_2\text{O}_3}^0 + 3\Delta H_{\text{AlTi}}^0 - \\ &\quad 13\Delta H_{\text{Al}}^0 - 3\Delta H_{\text{TiO}_2}^0 = -936\,530\text{ J} \\ \sum a &= -82.26 \quad \sum b = 121.47 \\ \sum c &= 123.72 \quad \sum d = 0 \\ \Delta c_p/T &= -86.26 + 121.47 \times 10^{-3}T + \\ &\quad 123.72 \times 10^5 T^{-2}\end{aligned}$$

则(4)式的热效应为

$$\begin{aligned}\Delta H_T^0 &= -936\,530 - 86.26T - 6.07 \times 10^{-1}T^2 - \\ &\quad 123.72 \times 10^5 T^{-1}\end{aligned}\quad (9)$$

通过线性插值法计算得 Al-TiO₂ 系的燃烧温度为 2966 K。

当增强相体积分数小于 100% 时, 反应过程中有过量铝存在, 并吸收反应热, 导致燃烧温度下降。在增强相体积分数分别为 20%、30%、40%、50%、100% 时, 通过计算燃烧温度分别为 1320、1507、1736、1982、2996 K。由 Merzhanov 经验判据^[15]: $T > 1800\text{ K}$ 时, SHS 燃烧反应可稳定进行。在 Al-TiO₂ 系中只有增强相体积分数高于 50% 时燃烧反应方可稳定进行, 因此在增强相体积分数低于 50% 时, 不宜采用 SHS 法, 而 XD 法可通过预热和调整升温速率等工艺参数弥补其放热不足, 仍可制得体积分数相对较低的金属基复合材料。

3.2 反应动力学

在 1000 K 左右时, Al 已液化, 并通过原子扩散和毛细吸附的作用包裹 TiO₂ 粉, 形成液固界面 (如图 4 所示)。反应过程剧烈, 持续时间仅数秒钟, 界面的瞬时温度达 2000 K 左右^[16], 在 Al-TiO₂ 反应界面产生 Al₂O₃ 颗粒和活性 Ti 原子, 因 $\Omega_{\text{Al}_2\text{O}_3} > \Omega_{\text{TiO}_2}$, 这样反应产物层的体积减小, Al₂O₃ 不能完全致密分布在 TiO₂ 颗粒的表面, 这样铝液可通过毛细扩散穿过 Al₂O₃ 反应层。尽管 Al₂O₃ 与 Al 液的润湿性差 (润湿角为 118°^[17]), 影响了铝原子的扩散, 但反应界面温度高, 由粘温性可知, 高温时铝液的粘度降低, 毛细吸附能力增强, 扩散速率相应提高。浓度梯度和高温促使各自反应区内的活性 Ti 原子向 Al 液中扩散, 同时也促使 Al 液向反应界面传输。随着反应的进行, 原子的扩散路程和扩散阻力逐渐增加, 反应界面逐渐减小, 反应速率也随之降低。因此, Al-TiO₂ 之间的反应速率和扩散速率的变化基本同步。为此, 以反应控制建立动力

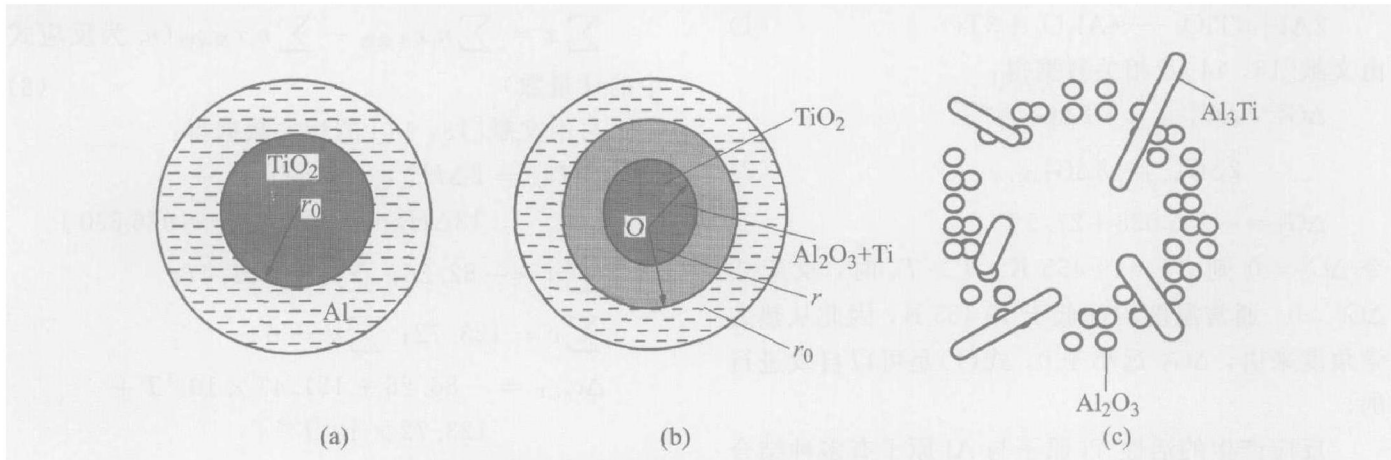


图 4 Al-TiO₂ 系反应过程的动力学模型

Fig 4 Kinetic model of Al-TiO₂ reaction system

(a) — Reaction start (b) — Reaction process (c) — Reaction end

学反应模型，同时作如下假设：

1) 反应组元 TiO₂ 固体颗粒为球形，反应时被铝液包裹，原始半径为 r_0 ，反应过程中的半径为 r ，如图 4 所示；

2) 反应过程为等温过程；

3) 产物形核在瞬间完成。

此时，反应产物的体积用 V 表示，则

$$V = \frac{4}{3}\pi(r_0^3 - r^3) \quad (10)$$

由反应控制原理得

$$\frac{dV}{dt} = KS \quad (11)$$

式中 S 为反应界面面积； K 为反应速率常数。

$$\frac{dV}{dt} = \frac{d}{dt} \left[\frac{4}{3}\pi(r_0^3 - r^3) \right] = K \times 4\pi r^2 S$$

得

$$-\frac{dr}{dt} = K \quad (12)$$

表明在反应过程中，球形颗粒的半径减小的速度即为反应速率常数。

由定义得

$$\eta = \frac{\Delta V}{V_0} = 1 - \left(\frac{r}{r_0} \right)^3$$

$$1 - (1 - \eta)^{1/3} = \frac{K}{r_0 t} \quad (13)$$

式中 η 为转化率； $K = K_0 \exp(-\frac{E}{RT})$ ； R 为气体常数； E 为反应活化能； K_0 为常数。

由反应速率的定义得

$$\varphi = \frac{d\eta}{dt} = -\frac{3r^2}{r_0^3} \frac{dr}{dt} = 3 \frac{K}{r_0^3} r^2 = \frac{3K_0}{4\pi r_0^3} S \exp(-\frac{E}{RT}) \quad (14)$$

因此，反应速率 φ 与 TiO₂ 颗粒的粒径 $2r_0$ 、反应温度 T 、反应活化能 E 、反应界面面积 S 等因素有关。TiO₂ 颗粒愈细，混粉质量愈好，增强体的体积分数愈高，反应速率愈大。

4 结论

1) 从热力学分析得出 Al 与 TiO₂ 之间的反应为自发进行的强放热反应，在增强相体积分数大于 50% 时，燃烧温度高于 Merzhanov 稳定燃烧的经验判据 (1800 K)。

2) Al-TiO₂ 系反应产物为 Al₂O₃ 和 Al₃Ti。Al₂O₃ 是 Al 与 TiO₂ 直接反应生成的，呈细小颗粒，因与基体不润湿，偏聚于基体颗粒的界面；Al₃Ti 是活性 Ti 原子通过扩散穿过反应层进入铝液，与铝原子结合生成的，呈棒状，分布相对均匀。

3) Al-TiO₂ 系 XD 合成时，反应和扩散基本同步，影响反应速率的主要因素有 TiO₂ 颗粒的尺寸、反应温度、反应活化能、反应界面面积等。

REFERENCES

- [1] 刘江, 彭晓东, 刘相果, 等. 原位合成铝基复合材料的研究现状 [J]. 重庆大学学报, 2003, 26(10): 1–5
LIU Jiang, PENG Xiao-dong, LIU Xiang-guo, et al. The studying status of in situ alum inum matrix composites [J]. Journal of Chongqing University, 2003, 26(10): 1–5
- [2] YANG B, WANG F, ZHANG J S. Microstructure characterization of in situ TiC/Al and TiC/Al-20Si-5Fe-3Cu-

IM g composites prepared by spray deposition [J]. *Acta Materialia*, 2003, 51: 4977–4989.

[3] Ranganath S. A review on particulate-reinforced titanium matrix composites [J]. *Journal of Materials Science*, 1997, 32: 1–16.

[4] WANG H Y, JIANG Q C, LI X L. Effect of Al content on the self-propagating high-temperature synthesis reaction of Al-TiC system in molten magnesium [J]. *Journal of Alloys and Compounds*, 2004, 366: L9–L12.

[5] FAN T X, ZHANG D, YANG G. Fabrication of in situ $\text{Al}_2\text{O}_3/\text{Al}$ composites via remelting [J]. *Journal of Materials Processing Technology*, 2003, 142: 556–561.

[6] 张作贵, 刘相法, 边秀房, 等. Al-TiC系中 TiC形成的热力学与动力学研究 [J]. *金属学报*, 2000, 36: 1025–1029.

ZHANG Zuo-gui, LIU Xiang-fa, BIAN Xiu-fang, et al. Study on the thermodynamics and kinetics of the TiC formed in Al-TiC system [J]. *Acta Metallurgica Sinica*, 2000, 36: 1025–1029.

[7] ZHANG E L, ZENG S Y, YANG B, et al. A study on the kinetic process of reaction synthesis [J]. *Metalurgical Transaction A*, 1999, 30A: 1147–1157.

[8] TONG X C, FANG H S. Al-TiC composites in situ processed by ingot metallurgy and rapid solidification technology part 1 microstructure evolution [J]. *Metallurgical and Materials Transactions A*, 1998, 29: 875–890.

[9] 赵玉涛, 孙国雄. Al_2ZrOC_2 体系熔体反应生成 $\text{Al}_2\text{Zr}_{(p)}$, $\text{Al}_2\text{O}_{3(p)}$ /Al复合材料的反应机制 [J]. *中国有色金属学报*, 2001, 11(3): 372–376.

ZHAO Yu-tao, SUN Guo-xiong. Reactive mechanism of $\text{Al}_2\text{Zr}_{(p)}$, $\text{Al}_2\text{O}_{3(p)}$ /Al composites formed by reaction between ZrOC_2 and liquid aluminum [J]. *The Chinese Journal of Nonferrous Metals*, 2001, 11(3): 372–376.

[10] 赵玉涛, 孙国雄. Al_2ZrOC_2 体系反应制备 $\text{Al}_2\text{Zr}_{(p)}$ + $\text{Al}_2\text{O}_{3(p)}$ /Al复合材料 [J]. *中国有色金属学报*, 2001, 11(1): 41–46.

ZHAO Yu-tao, SUN Guo-xiong. Fabrication of the in situ composite $\text{Al}_2\text{Zr}_{(p)}$, $\text{Al}_2\text{O}_{3(p)}$ /Al in Al_2ZrOC_2 system [J]. *The Chinese Journal of Nonferrous Metals*, 2001,

10: 41–44.

[11] PENG H X, FEN Z, WANG D Z. In situ $\text{Al}_2\text{TiC}/\text{Al}_2\text{O}_3$ intermetallic matrix composites synthesis microstructure and compressive behavior [J]. *Journal of Materials Research*, 2000, 15: 1943–1949.

[12] 朱和国, 王恒志, 吴申庆. TiD_2/Al 摩尔比对 $\text{Al}-\text{TiD}_2$ 系 XD 反应合成铝基复合材料的影响 [J]. *铸造*, 2000, 49: 6–10.

ZHU He-guo, WANG Heng-zhi, WU Shen-qing. Influence of Al/TiD₂ mole ratio on the XD synthesis of Al-TiD₂ system [J]. *Foundry*, 2000, 49: 6–10.

[13] 叶大伦, 胡建华. 实用无机物热力学数据手册 [M]. 北京: 冶金工业出版社, 2002: 72–1059.

YE Da-lun, HU Jian-hua. Handbook of Thermodynamic Data for Inorganic Compound [M]. Beijing: Metallurgical Industry Press, 2002: 72–1059.

[14] 梁英教, 车荫昌. 无机物热力学数据手册 [M]. 沈阳: 东北大学出版社, 1993: 49–381.

LIANG Ying-jiao, CHE Yan-chang. Handbook of Thermodynamic Data for Inorganic Compound [M]. Shenyang: Northeast University Press, 1993: 49–381.

[15] MERZHANOV A G. Combustion processes that synthesize materials [J]. *Journal of Materials Processing Technology*, 1996, 56: 222–241.

[16] 朱和国. $\text{Al}-\text{TiD}_2-\text{X}$ 及 $\text{Al}-\text{Fe}_2\text{O}_3$ 系原位反应合成复合材料研究 [D]. 南京: 东南大学, 2003.

ZHU He-guo. Study on the Composites Fabricated by in situ Reaction Method in $\text{Al}-\text{TiD}_2-\text{X}$ and $\text{Al}-\text{Fe}_2\text{O}_3$ Systems [D]. Nanjing: Southeast University, 2003.

[17] 于化顺, 闵文辉, 陈熙琛. 固体粒子进入熔体的条件及影响因素 [J]. *复合材料学报*, 2000, 17(3): 113–115.

YU Hua-shun, M IN W en-hui, CHEN Xi-cheng. Conditions of the solid particles into melt and influence factors on it [J]. *Acta Materiae Compositae Sinica*, 2000, 17(3): 113–115.

(编辑 袁赛前)